

โครงการวิจัยโดยใช้เงินรายได้คณะประจำปี 2550

อุปกรณ์วิเคราะห์ Loop Gain สำหรับวงจรจ่ายกำลังแบบสวิตซ์ซิ่ง
Loop Gain Analyzer for Switching Power Supply

เสนอ

คณะวิศวกรรมศาสตร์ สถาบันเทคโนโลยีพระจอมเกล้าเจ้าคุณ
ทหารลาดกระบัง

โดย

นายนนทวัฒน์ จุลเดชะ หัวหน้าโครงการ

น.ส. อนวัชวดี อมรธรรม ผู้ช่วยวิจัย

นาย อมรศักดิ์ โพธิ์ธีรบุตร ผู้ช่วยวิจัย

ภาควิชาวิศวกรรมระบบควบคุม คณะวิศวกรรมศาสตร์
สถาบันเทคโนโลยีพระจอมเกล้าเจ้าคุณทหารลาดกระบัง

เอกสารนี้เป็นเอกสารที่สงวนไว้สำหรับการใช้งานเพื่อการศึกษาเท่านั้น ไม่อนุญาตให้นำไปใช้ประโยชน์ด้านการค้า
ไม่ว่ากรณีใดๆทั้งสิ้น อีกทั้งห้ามมิให้ตัดแปลงเนื้อหา และต้องอ้างอิงถึงเจ้าของเอกสารทุกครั้งที่มีการนำไปใช้

สารบัญ

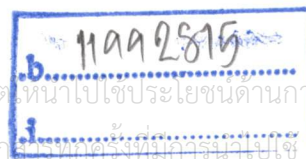
	หน้า
บทที่ 1 บทนำ	3
1.1 ความเป็นมาและความสำคัญของปัญหา	3
1.2 วัตถุประสงค์ของการวิจัย	3
1.3 คุณสมบัติและรายละเอียดการทำงานของชิ้นงานในโครงการวิจัย	4
1.4 ระยะเวลาดำเนินงานโครงการวิจัย	5
บทที่ 2 ทฤษฎีและหลักการ	6
2.1 การวิเคราะห์การตอบสนองต่อความถี่ (Frequency Response)	6
2.2 LabVIEW (Laboratory Virtual Instrument Engineering Workbench)	7
บทที่ 3 หลักการวิเคราะห์ และการออกแบบ	9
3.1 โครงสร้างของระบบทั้งหมด	9
3.2 การทำ Swept Sine Excitation และการ Sampling Signal	9
3.3 การออกแบบวงจร PWM Controller	16
3.4 วงจรจ่ายกำลังแบบสวิตซ์ซิ่ง DC/DC ชนิด Buck	17
3.5 ส่วนออกแบบเครื่องมือวัดเสมือนในการวัดผลตอบสนองเชิงความถี่	19
บทที่ 4 ผลการทดลองโครงการ	20
บทที่ 5 สรุปผลโครงการ ปัญหาที่พบและแนวทางแก้ไข	23
กิตติกรรมประกาศ	25
เอกสารอ้างอิง	26

เลขหมู่.....

เลขทะเบียน 84486

วันที่เดือนปี 13 ต.ค. 2551

.....



เอกสารนี้เป็นเอกสารที่สงวนไว้สำหรับภายใน ไม่อนุญาตให้นำไปเผยแพร่โดยไม่ขออนุญาต
 ไม่ว่าจะกรณีใดๆทั้งสิ้น อีกทั้งห้ามมิให้คัดแปลงเนื้อหา และต้องอ้างอิงถึงเจ้าของเอกสาร
 สำนักหอสมุดกลาง พระจอมเกล้าลาดกระบัง

บทที่ 1

บทนำ

1.1 ความเป็นมาและความสำคัญของปัญหา

ในปัจจุบันวงจรจ่ายกำลังแบบสวิตซ์ซึ่ง ได้ถูกนำไปใช้เพื่อจ่ายกำลังให้กับวงจรอิเล็กทรอนิกส์มากมาย เช่น คอมพิวเตอร์แบบ Note book, โทรศัพท์แบบจอแบน และวงจรจ่ายกำลังสำหรับเครื่องมือทางอุตสาหกรรม เป็นต้น ในเมืองไทยจึงมีผู้ผลิตวงจรจ่ายกำลังแบบสวิตซ์ซึ่งหลายบริษัท เช่น Delta(Thailand) เป็นต้น บริษัทและมหาวิทยาลัยที่ทำการวิจัยเกี่ยวกับวงจรจ่ายกำลังแบบสวิตซ์ซึ่งมีปัญหารวมกันคือ ในการออกแบบวงจรจ่ายกำลังแบบสวิตซ์ซึ่งที่ต้องการให้วงจรทำงานได้ถูกต้อง และมีเสถียรภาพที่ดี วงจรต้องมี Controller ที่ดี การออกแบบ Controller โดยทั่วไปใช้หลักการ Frequency Analysis ด้วยเทคนิค Bode Plot ซึ่งเทคนิคนี้มีข้อจำกัดที่ผลการออกแบบเป็นการประมาณอย่างหยาบ เมื่อผลการออกแบบที่ได้ไปสร้างวงจรจริง จะได้วงจรจ่ายกำลังแบบสวิตซ์ซึ่งที่มีคุณภาพแตกต่างจากที่ออกแบบไว้ ผลการทดสอบที่ได้มักมีข้อผิดพลาด ดังนั้นนักวิจัยวงจรจ่ายกำลังแบบสวิตซ์ซึ่งมีความต้องการอุปกรณ์ Loop Gain Analyzer เพื่อช่วยหาข้อมูลจากวงจรจริง เพื่อให้มีการปรับแต่งข้อมูลของ Controller ได้ถูกต้อง ซึ่งมีผลทำให้ได้วงจรจ่ายกำลังแบบสวิตซ์ซึ่งที่มีคุณสมบัติสูงขึ้น เช่นกันในห้องปฏิบัติการควบคุมและแปลงรูปกำลังไฟฟ้า ภาควิชาวิศวกรรมระบบควบคุม มีงานวิจัยเกี่ยวกับวงจรจ่ายกำลังแบบสวิตซ์ซึ่งระดับปริญญาตรีมากกว่า 8 เรื่องต่อปี ระดับปริญญาโทมากกว่า 4 เรื่องต่อปี และ ระดับปริญญาเอก 1 เรื่องต่อปี ก็มีความต้องการ Loop Gain Analyzer เช่นกัน ถึงแม้ว่ามีผู้ผลิต Loop Gain Analyzer อยู่บ้างแต่ราคาสูงมากทำให้มหาวิทยาลัยที่มีงบประมาณจำกัดไม่สามารถจัดซื้อได้ ผู้วิจัยจึงมีความประสงค์ที่จะทำการวิจัยเพื่อสร้าง Loop Gain Analyzer เพื่อใช้ในห้องปฏิบัติการของภาควิชาฯ

1.2 วัตถุประสงค์ของการวิจัย

พัฒนาและสร้าง อุปกรณ์วิเคราะห์ Loop Gain ของวงจรจ่ายกำลังแบบสวิตซ์ซึ่ง โดยใช้เทคนิคแบบการวัดผลตอบสนองต่อความถี่ แล้วแสดงผลด้วย Bode Plot โดยโดย

ใช้โปรแกรม LabVIEW เป็นส่วนควบคุมการทำงานหลัก ซึ่งผู้ใช้สามารถนำไป ออกแบบ Controller ต่อไป

1.3 คุณสมบัติและรายละเอียดการทำงานของชิ้นงานในโครงการวิจัย

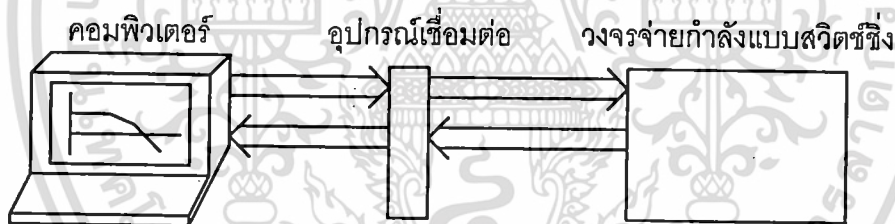
1.3.1 คุณสมบัติของ Loop Gain Analyzer ในงานวิจัย

1.3.1.1 สามารถวิเคราะห์ Open Loop Gain ของวงจรจ่ายกำลังแบบสวิตซ์ซึ่งที่ทำงาน ได้ถึงความถี่ของการสวิตซ์ 20 kHz

1.3.1.2 แสดงผลด้วย Bode Plot

1.3.2 รายละเอียดการทำงานของชิ้นงานในโครงการวิจัย

งานวิจัยนี้จะใช้โปรแกรม LabView สร้างโปรแกรมเพื่อส่งสัญญาณทดสอบจาก คอมพิวเตอร์ผ่านอุปกรณ์เชื่อมต่อไปยังวงจรจ่ายกำลังแบบสวิตซ์ซึ่ง ที่ต้องการทดสอบ หลังจากนั้นก็วัดผลทดสอบที่ได้ส่งผ่านอุปกรณ์เชื่อมต่อกลับไปยังคอมพิวเตอร์ ซึ่งจะนำ ข้อมูลที่ส่งออกและรับเข้ามาแสดงเป็น Bode Plot รูปที่ 1.1 แสดงการทำงานของ Loop Gain Analyzer



รูปที่ 1.1 ระบบของ Loop Gain Analyzer

โครงสร้างงานวิจัยที่ต้องทำ

1.3.2.1 โปรแกรมที่สร้างจาก LabView เพื่อควบคุมการทำงานทั้งหมดซึ่งประกอบด้วย

1.3.2.1.1 ส่วนควบคุมที่ส่งสัญญาณชนิดปรับความถี่ได้จาก 0 – 25 kHz

1.3.2.1.2 ส่วนรับสัญญาณชนิดรองความถี่ที่สามารถควบคุม Bandwidth ได้

1.3.2.1.3 ส่วนคำนวณสัญญาณแบบ Digital

1.3.2.1.3 ส่วนแสดงกราฟ Bode Plot

เอกสารนี้เป็นเอกสารที่สงวนไว้สำหรับการใช้งานเพื่อการศึกษาเท่านั้น ไม่อนุญาตให้นำไปใช้ประโยชน์ด้านการค้า ไม่ว่าจะกรณีใดๆทั้งสิ้น อีกทั้งห้ามมิให้ตัดแปลงเนื้อหา และต้องอ้างอิงถึงเจ้าของเอกสารทุกครั้งที่มีการนำไปใช้

1.3.2.2 อุปกรณ์เชื่อมต่อที่คุณสมบัติแยกกราวด์ระหว่างวงจรจ่ายกำลังแบบสวิตซ์ชิ่ง
กับคอมพิวเตอร์

1.3.2.3 วงจรจ่ายกำลังแบบสวิตซ์ชิ่ง DC/DC ชนิด Buck

1.4 ระยะเวลาดำเนินงานโครงการวิจัย 1 ปี



เอกสารนี้เป็นเอกสารที่สงวนไว้สำหรับการใช้งานเพื่อการศึกษาเท่านั้น ไม่อนุญาตให้นำไปใช้ประโยชน์ด้านการค้า
ไม่ว่ากรณีใดๆทั้งสิ้น อีกทั้งห้ามมิให้ดัดแปลงเนื้อหา และต้องอ้างอิงถึงเจ้าของเอกสารทุกครั้งที่มีการนำไปใช้

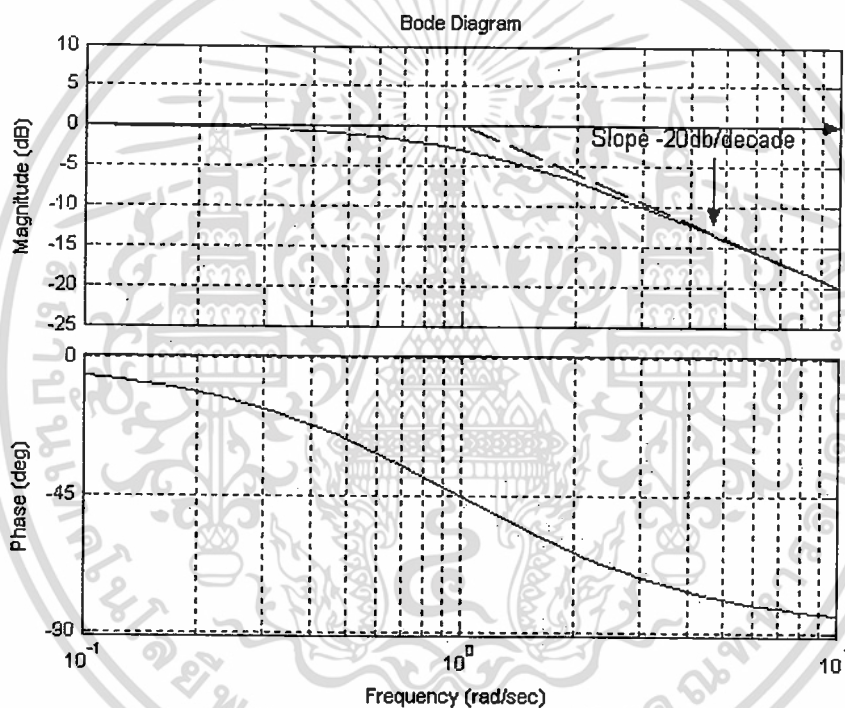
บทที่ 2

ทฤษฎีและหลักการ

2.1 การวิเคราะห์การตอบสนองต่อความถี่ (Frequency Response)

ในการวิเคราะห์และออกแบบส่วนควบคุมของระบบควบคุมมีการวิเคราะห์ได้หลายรูปแบบ แต่วิธีการหนึ่งที่มีความนิยมมากคือ การวิเคราะห์การตอบสนองต่อความถี่ของ Open – loop gain ของระบบ และแสดงผลด้วยเทคนิค Bode plot [1] รูปที่

2.1 แสดง ตัวอย่าง Bode plot ของฟังก์ชันถ่ายโอน $G(j\omega) = \frac{1}{1+j\omega T}$

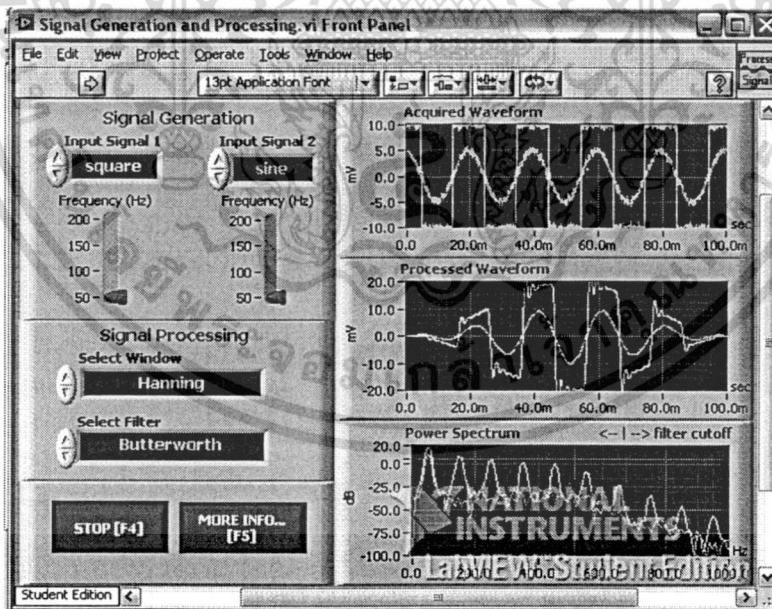


รูปที่ 2.1 Bode plot ฟังก์ชันถ่ายโอน $G(j\omega) = \frac{1}{1+j\omega T}$

งานวิจัยเรื่องนี้คือการใช้โปรแกรม LabVIEW ทำงานเป็นเครื่องมือวัดเสมือนตามลักษณะระบบตามรูปที่ 1.1 เพื่อให้ได้ กราฟ Bode plot นี้

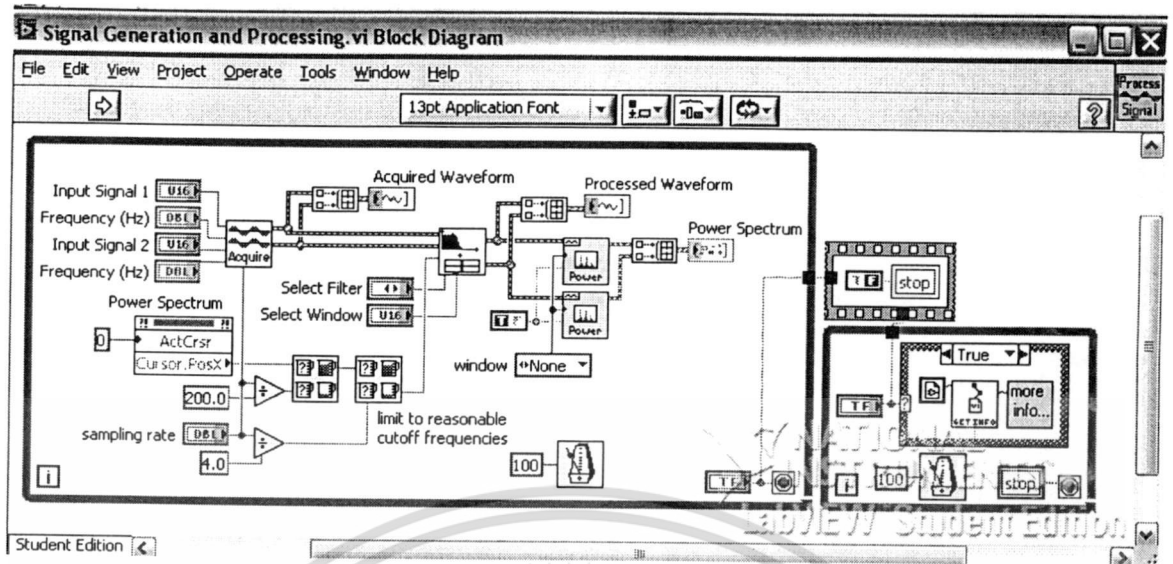
2.2 LabVIEW (Laboratory Virtual Instrument Engineering Workbench)

LabVIEW เป็นเครื่องมือที่ใช้ในการพัฒนา Application (โปรแกรมประยุกต์) ซึ่งเป็นการเขียนโปรแกรมโดยใช้รูป (Graphical-based Programming), LabVIEW ทำงานแบบ Dataflow, LabVIEW สามารถเขียนเป็นสมการต่างๆที่ซับซ้อนได้เหมือน Text-Based, การทำงานสามารถติดต่อกับเครื่องมือภายนอก (Transducer) ที่ใช้วัดสัญญาณทางกายภาพต่างๆ และนอกจากนั้นสามารถนำประโยชน์จาก Computer Technology และ Network Technology มาประยุกต์ใช้งาน ทำให้ในอุตสาหกรรมได้นำเอา LabVIEW มาประยุกต์ใช้งานมากขึ้น โดยเฉพาะงานทางด้านระบบควบคุม และอัตโนมัติ (Automation) โปรแกรมที่พัฒนาขึ้นโดยใช้ LabVIEW จะเรียกว่า Virtual Instrument (VI) ซึ่งหมายถึงเครื่องมือวัดเสมือน LabVIEW ประกอบด้วยสองส่วนคือ Front Panel ซึ่งเปรียบเสมือนกับเครื่องมือวัดจริง สิ่งที่ใช้จะเห็นและควบคุมการทำงาน และส่วนที่เรียกว่า Block Diagram เปรียบเสมือนกับ Hardware ภายในเครื่องมือวัด ดังตัวอย่างแสดงอุปกรณ์ Signal Generation and Processing รูปที่ 2.2 แสดงส่วน Front Panel และรูปที่ 2.3 แสดงส่วน Block Diagram [2][3][4]

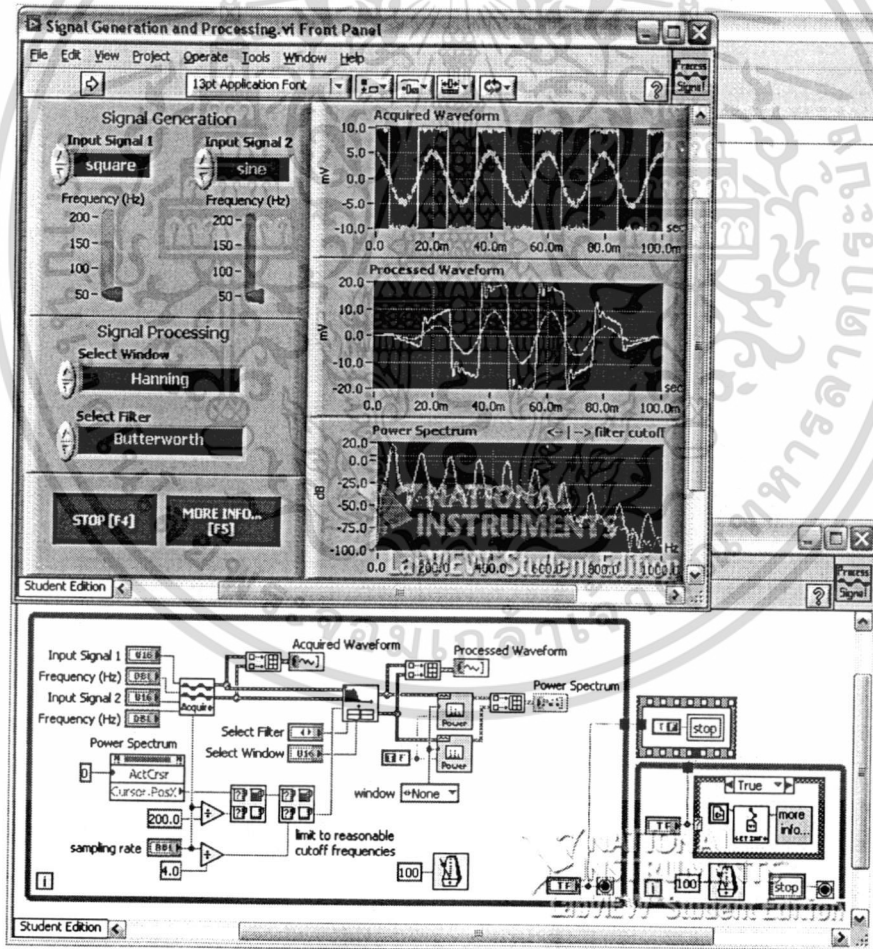


รูปที่ 2.2 ส่วน Front Panel ของ อุปกรณ์ Signal Generation and Processing

เอกสารนี้เป็นเอกสารที่สงวนไว้สำหรับการใช้งานเพื่อการศึกษาเท่านั้น ไม่อนุญาตให้นำไปใช้ประโยชน์ด้านการค้า ไม่ว่าจะกรณีใดๆทั้งสิ้น อีกทั้งห้ามมิให้ตัดแปลงเนื้อหา และต้องอ้างอิงถึงเจ้าของเอกสารทุกครั้งที่มีการนำไปใช้



รูปที่ 2.3 ส่วน Block Diagram ของ อุปกรณ์ Signal Generation and Processing



รูปที่ 2.4 แสดงระบบทั้งหมดของอุปกรณ์ Signal Generation and Processing

เอกสารนี้เป็นเอกสารที่สงวนไว้สำหรับการใช้งานเพื่อการศึกษาเท่านั้น ไม่อนุญาตให้นำไปใช้ประโยชน์ด้านการค้า ไม่ว่าจะกรณีใดๆทั้งสิ้น อีกทั้งห้ามมิให้ดัดแปลงเนื้อหา และต้องอ้างอิงถึงเจ้าของเอกสารทุกครั้งที่มีการนำไปใช้

บทที่ 3

หลักการวิเคราะห์ และการออกแบบ

3.1 โครงสร้างของระบบทั้งหมด

เครื่องมือวัดเสมือนเพื่อวัดผลตอบสนองเชิงความถี่ของระบบประกอบด้วยระบบย่อยๆคือ

3.1.1 Swept Sine Excitation และ Sampling Signal : LabVIEW ทำหน้าที่สร้างสัญญาณชนิด Sinusoidal ชนิดปรับความถี่ได้เพื่อนำไปเป็นสัญญาณชนิด Small signal ของ Duty cycle สำหรับ วงจรจ่ายกำลังแบบสวิตซ์ซึ่ง DC/DC ชนิด Buck และในขณะเดียวกัน ทำหน้าที่รับสัญญาณ Small signal จากแรงดันไฟฟ้าที่ทางออกของวงจรนี้เข้ามาวิเคราะห์ ซึ่งสัญญาณที่รับเข้ามาวิเคราะห์ เลือกรับเฉพาะ สัญญาณความถี่เดียวกับความถี่ของ Small signal ของ Duty cycle เท่านั้น

3.1.2 ระบบสร้าง Bode plot : LabVIEW ทำหน้าที่สร้างกราฟ Bode plot ของสัญญาณ Small signal ของ Duty cycle เปรียบเทียบกับ Small signal ของแรงดันไฟฟ้าที่ทางออกจาก วงจรจ่ายกำลังแบบสวิตซ์ซึ่ง DC/DC ชนิด Buck

3.2 การทำ Swept Sine Excitation และการ Sampling Signal

การใช้เทคนิค DSP (Digital Signal Processing) นั้น ต้องทำการแปลงสัญญาณ Analog ให้เป็นสัญญาณ Digital โดยพิจารณาสัญญาณ Analog ที่ถูก Sampling ทุก ๆ วินาที ส่วนการตั้งค่าสัญญาณให้ Sweep ให้เหมาะสมมีหลักการที่ต้องคำนึงคือ การตั้งค่า Sampling Rate ไม่ให้เกิดการ Alias ของสัญญาณ ต้องทำการ Sample ที่ Sampling Frequency อย่างน้อยสองเท่าของความถี่ที่มากที่สุดของสัญญาณที่ต้องการ แต่ในทางปฏิบัติการ จะให้ Sampling Frequency ที่ 5-10 เท่าของความถี่สูงสุดที่ต้องการ

3.2.1 การสร้างวงจรอิเล็กทรอนิกส์จำลอง

การสร้างวงจรอิเล็กทรอนิกส์จำลองคือ การสร้างวงจรอิเล็กทรอนิกส์จำลอง Analog Low pass Filter แบบ Chebyshev – I Filter เพื่อลดสัญญาณรบกวนจากภายนอกซึ่งมีคุณสมบัติดังนี้

$$f_p \text{ (passband frequency)} = 10 \text{ kHz} \quad , \quad f_s \text{ (stopband frequency)} = 15 \text{ kHz}$$

$$R_p \text{ (passband ripple)} = 1 \text{ dB} \quad , \quad A_s \text{ (stopband attenuation)} = 25 \text{ dB}$$

$$f_p = 10 \text{ kHz} \quad \Rightarrow \quad \Omega_p = 2\pi f_p = 62831.85307 \text{ rad/s}$$

$$f_s = 15 \text{ kHz} \quad \Rightarrow \quad \Omega_s = 2\pi f_s = 94247.77961 \text{ rad/s}$$

$$\mathcal{E} \text{ (ripple parameter)} = \sqrt{10^{R_p/10} - 1} = \sqrt{10^{1/10} - 1} = 0.5088$$

$$\Omega_c = \Omega_p = 62831.85307 \text{ rad/s}$$

$$A = 10^{A_s/20} = 10^{25/20} = 17.7828$$

$$\Omega_r = \frac{\Omega_s}{\Omega_p} = 1.5$$

$$g = \sqrt{\frac{(A^2 - 1)}{\mathcal{E}^2}} = 34.8952$$

$$\text{Order} = N = \frac{\left[\log_{10}(g + \sqrt{g^2 - 1}) \right]}{\left[\log_{10}(\Omega_r + \sqrt{\Omega_r^2 - 1}) \right]}$$

$$= \frac{\left[\log_{10}(34.8952 + \sqrt{34.8952^2 - 1}) \right]}{\left[\log_{10}(1.5 + \sqrt{1.5^2 - 1}) \right]}$$

$$= 5$$

Pole ที่เป็นไปได้ของวงจร Filter คือ

$$\alpha = \frac{1}{\mathcal{E}} + \sqrt{1 + \frac{1}{\mathcal{E}^2}} = 4.1706$$

$$a = 0.5 \left(\sqrt[N]{\alpha} - \sqrt[N]{1/\alpha} \right) = 0.2895$$

$$b = 0.5 \left(\sqrt[N]{\alpha} + \sqrt[N]{1/\alpha} \right) = 1.0411$$

ดังนั้น Pole โพลที่เป็นไปได้ของวงจร Filter คือ

$$P_k = (a\Omega_c) \cos \left[\frac{\pi}{2} + \frac{(2k+1)\pi}{2N} \right] + j(b\Omega_c) \sin \left[\frac{\pi}{2} + \frac{(2k+1)\pi}{2N} \right]$$

(k = 0,1,2,3,4)

$$P_{0,4} = -5.6208 \times 10^3 \pm j 6.2210 \times 10^4$$

$$P_2 = -1.8189 \times 10^4$$

$$P_{1,3} = -1.4716 \times 10^4 \pm j 3.8448 \times 10^4$$

เอกสารนี้เป็นเอกสารสงวนไว้สำหรับการใช้งานในเอกสารที่ออกให้เท่านั้น ไม่อนุญาตให้นำไปใช้ประโยชน์ด้านการค้า
ไม่ว่ากรณีใดๆทั้งสิ้น อีกทั้งห้ามมิให้ตัดแปลงเนื้อหา และต้องอ้างอิงถึงเจ้าของเอกสารทุกครั้งที่มีการนำไปใช้

$$H(S) = \frac{k}{\prod_{k=0}^N (S - P_k)}$$

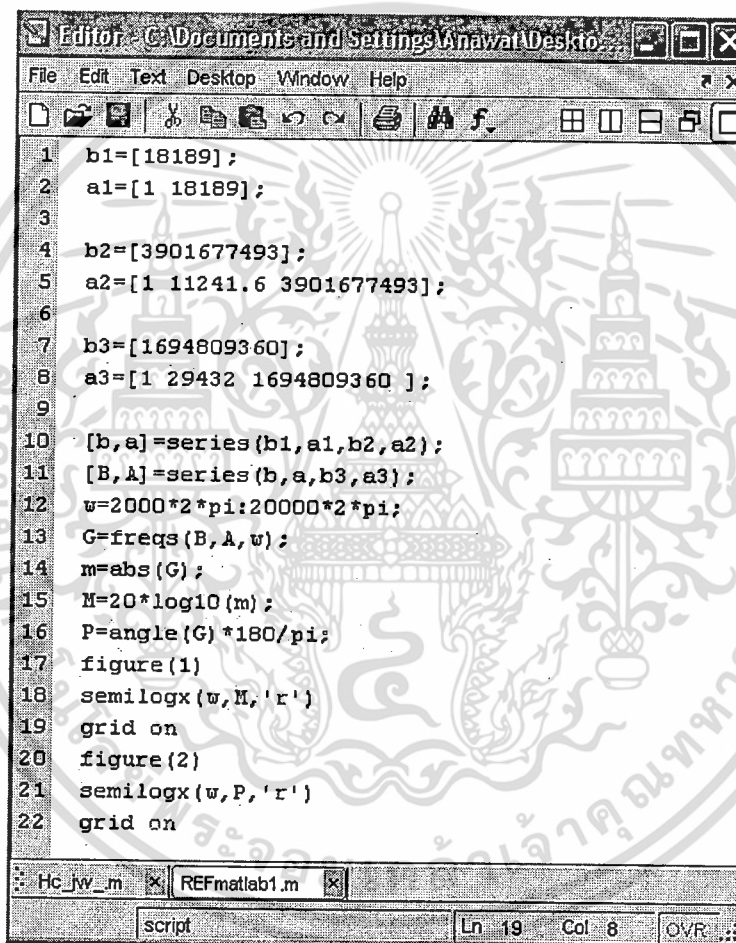
เมื่อ N เป็นจำนวนที่ $H(j0) = 1$

$$K = 18189 \times 3901677493 \times 1694809360 = 1.202765729 \times 10^{23}$$

ดังนั้นฟังก์ชันถ่ายโอนของระบบคือ

$$H(s) = \frac{1.202765729 \times 10^{22}}{(S + 18189)(S^2 + 11241.6S + 3901677493)(S^2 + 29432S + 1694809360)}$$

คำนวณหาผลตอบสนองความถี่ด้วยการใช้ MATLAB SIMULINK ได้ดังนี้



```

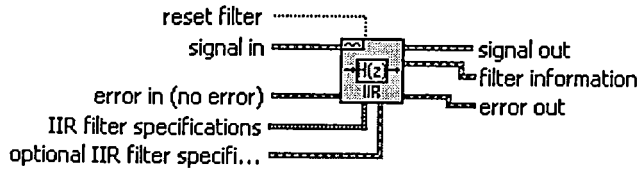
1  b1=[18189];
2  a1=[1 18189];
3
4  b2=[3901677493];
5  a2=[1 11241.6 3901677493];
6
7  b3=[1694809360];
8  a3=[1 29432 1694809360];
9
10 [b,a]=series(b1,a1,b2,a2);
11 [B,A]=series(b,a,b3,a3);
12 w=2000*2*pi:20000*2*pi;
13 G=freqs(B,A,w);
14 m=abs(G);
15 M=20*log10(m);
16 P=angle(G)*180/pi;
17 figure(1)
18 semilogx(w,M,'r')
19 grid on
20 figure(2)
21 semilogx(w,P,'r')
22 grid on

```

รูปที่ 3.1 แสดงการคำนวณด้วย MATLAB

ในส่วนของLabVIEW นั้น มีฟังก์ชัน Filter ให้เลือก โดยใช้ IIR (Infinite Impulse Response) Filter

เอกสารนี้เป็นเอกสารที่สงวนไว้สำหรับการใช้งานเพื่อการศึกษาเท่านั้น ไม่อนุญาตให้นำไปใช้ประโยชน์ด้านการค้า ไม่ว่ากรณีใดๆทั้งสิ้น อีกทั้งห้ามมิให้ตัดแปลงเนื้อหา และต้องอ้างอิงถึงเจ้าของเอกสารทุกครั้งที่มีการนำไปใช้



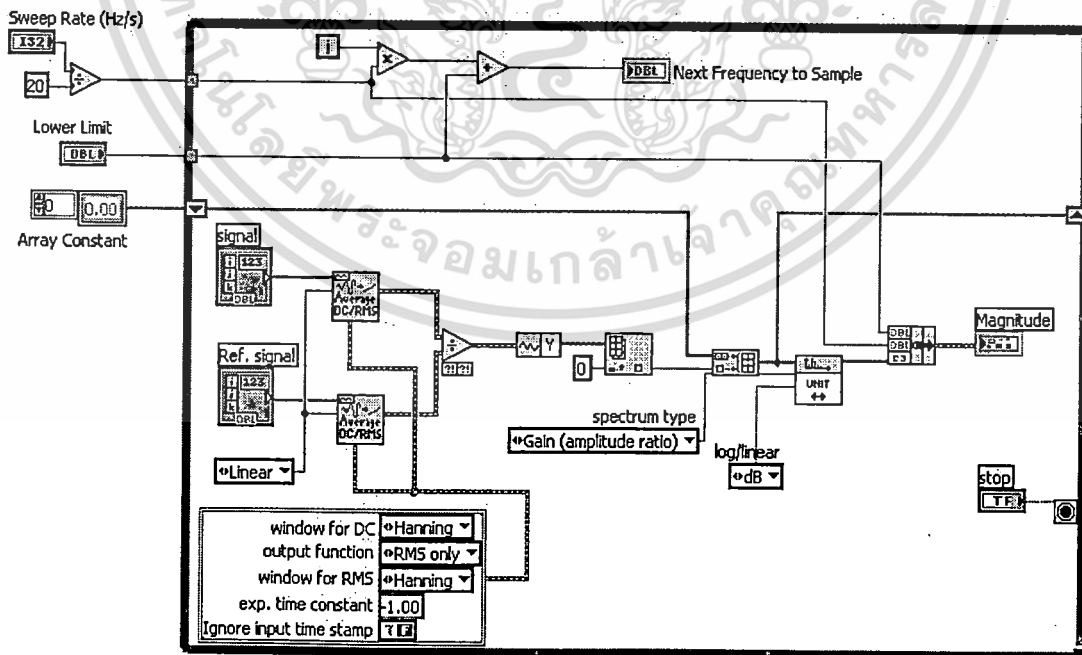
รูปที่ 3.2 IIR Digital Filter

3.2.2 การวิเคราะห์การตอบสนองเชิงความถี่โดย Bode Plots

การวิเคราะห์การตอบสนองเชิงความถี่โดย Bode plot คือ ป้อนสัญญาณ Sinusoidal ความถี่ ω ที่ปรับค่าได้ที่ทางเข้า แล้วนำสัญญาณด้านออกของระบบมาเปรียบเทียบกับ ทั้ง ขนาด และ เฟส ฟังก์ชันถ่ายโอน $H(j\omega)$ ของระบบเป็นอัตราส่วนของสัญญาณ ที่ ทางออก $Y(\omega)$ กับ สัญญาณที่ทางเข้า $X(j\omega)$

$$H(j\omega) = \frac{Y(j\omega)}{X(j\omega)}$$

- ขนาด $|H(\omega)|$ คืออัตราส่วนของขนาดแอมพลิจูดของสัญญาณที่ทางออก ต่อสัญญาณที่ทางเข้า รูปที่ 3.3 แสดงโปรแกรม LabVIEW ที่ใช้คำนวณ $|H(\omega)|$

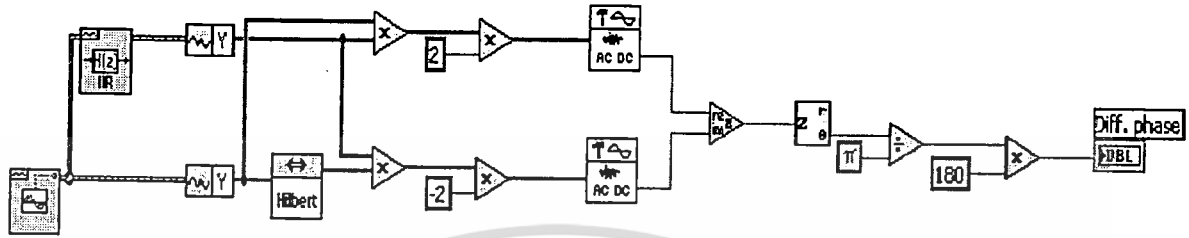


รูปที่ 3.3 การวิเคราะห์ขนาดและการใช้ Shift Register ในการเก็บค่า

เอกสารนี้เป็นเอกสารที่สงวนไว้สำหรับการใช้งานเพื่อการศึกษาเท่านั้น ไม่อนุญาตให้นำไปใช้ประโยชน์ด้านการค้า ไม่ว่าจะกรณีใดๆทั้งสิ้น อีกทั้งห้ามมิให้ดัดแปลงเนื้อหา และต้องอ้างอิงถึงเจ้าของเอกสารทุกครั้งที่มีการนำไปใช้

- มุมเฟส $\angle H(j\omega)$ คือ มุมเฟสเปรียบเทียบจากสัญญาณที่ทางออก กับ สัญญาณที่ทางเข้า รูปที่ 3.4 แสดงโปรแกรม LabVIEW ที่ใช้คำนวณเฟส

$$\angle H(j\omega) = \tan^{-1} H(j\omega)$$



รูปที่ 3.4 แสดงการวิเคราะห์ห่มุมเฟส

$$\text{Reference signal} = \sin(at)$$

$$\text{Hilbert Transform of reference signal} = \cos(at)$$

$$\text{Measured signal} = \sin(at + \theta)$$

จาก $\sin(A \pm B) = \sin(A)\cos(B) \pm \cos(A)\sin(B)$ —(1)

$$\cos(A \pm B) = \cos(A)\cos(B) \mp \sin(A)\sin(B)$$
 —(2)

จากสมการที่ (1)

$$\sin(A + B) - \sin(A - B) = \sin(A)\cos(B) + \cos(A)\sin(B) - \sin(A)\cos(B) + \cos(A)\sin(B)$$

$$\sin(A + B) - \sin(A - B) = 2\cos(A)\sin(B)$$
 —(3)

จากสมการที่ (2)

$$\cos(A + B) - \cos(A - B) = \cos(A)\cos(B) - \sin(A)\sin(B) - \cos(A)\cos(B) - \sin(A)\sin(B)$$

$$\cos(A + B) - \cos(A - B) = -2\sin(A)\sin(B)$$
 —(4)

แทน $A = at$, $B = at + \theta$

จากสมการที่ (3)

$$\begin{aligned} 2\cos(at)\sin(at + \theta) &= \sin(at + at + \theta) - \sin(at - at - \theta) \\ &= \sin(2at + \theta) - \sin(-\theta) \end{aligned}$$

$$2\cos(at)\sin(at + \theta) = \sin(\theta) + \sin(2at + \theta)$$

จากสมการที่ (4) จะได้

$$-2\sin(at)\sin(at + \theta) = \cos(at + at + \theta) - \cos(at - at - \theta)$$

เอกสารนี้เป็นเอกสารที่สงวนไว้สำหรับการใช้งานเพื่อการศึกษาเท่านั้น ไม่อนุญาตให้นำไปใช้ประโยชน์ด้านการค้า ไม่ว่ากรณีใดๆทั้งสิ้น อีกทั้งห้ามมิให้ตัดแปลงเนื้อหา และต้องอ้างอิงถึงเจ้าของเอกสารทุกครั้งที่มีการนำไปใช้

$$= -\cos(\theta) + \cos(2at + \theta)$$

$$2 \sin(at) \sin(at + \theta) = \cos(\theta) - \cos(2at + \theta)$$

$$\text{ได้ } 2 \cos(at) \sin(at + \theta) = \sin(\theta) + \sin(2at + \theta)$$

$$2 \sin(at) \sin(at + \theta) = \cos(\theta) - \cos(2at + \theta)$$

$\cos(\theta)$ และ $\sin(\theta)$ คือ DC terms

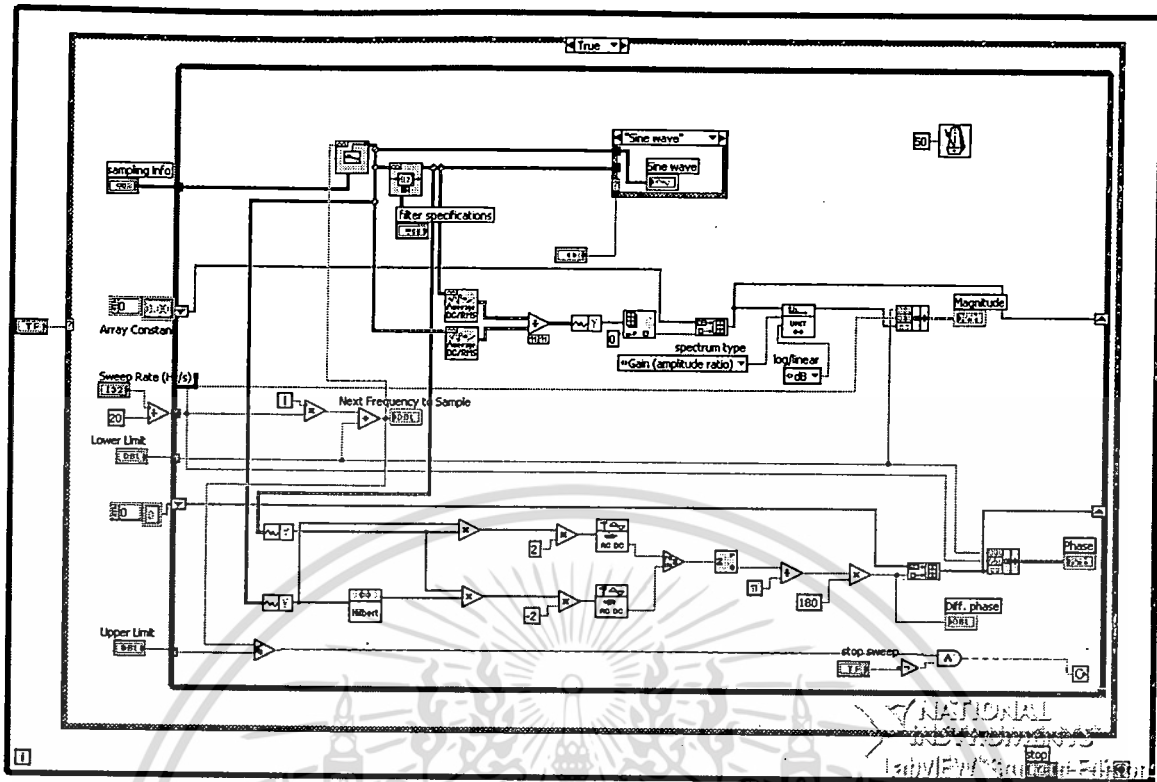
$\cos(at + \theta)$ และ $\sin(at + \theta)$ คือ AC terms

รวมกับเทอม DC $\cos(\theta) + j \sin(\theta)$ และเฟสคือ $\arctan\left[\frac{\sin(\theta)}{\cos(\theta)}\right]$

$$\angle H(j\omega) = \tan^{-1}\left[\frac{\sin(\theta)}{\cos(\theta)}\right]$$

- การบันทึกค่าขนาดและมุมเฟส

ในการปรับเปลี่ยนความถี่ Sinusoidal Swept ไปจนถึงความถี่ที่ตั้งไว้ จึงต้องมีการเก็บค่าผลตอบสนองในแต่ละความถี่ โดยการใช้ Shift Register ใน While Loop ในการเก็บค่า กล่าวคือการเก็บค่าในแต่ละครั้งจะมีค่าตั้งแต่ค่าเริ่มต้น จนถึงค่าสุดท้ายของ While Loop ซึ่งในที่นี้ที่ด้านซ้ายมือของ Shift Register จะมีตัวแปรซึ่งเรียกว่า Initialize Value จะใช้ตัวแปรนี้เมื่อต้องการให้ค่าที่เริ่มต้นมีค่าเท่ากับจำนวนนั้นๆ ที่ได้ตั้งเอาไว้ ซึ่งในโปรแกรมที่สร้าง ในการวัดผลตอบสนองเชิงความถี่ตั้งให้เท่ากับศูนย์ ทั้งขนาดและเฟส เพื่อที่การเก็บค่าในครั้งต่อไปจะไม่นำค่าเดิมมาคิดอีก



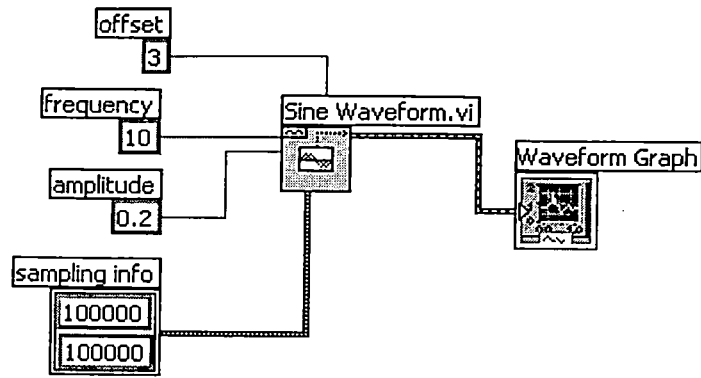
รูปที่ 3.5 แสดงโปรแกรม LabVIEW ของการออกแบบเครื่องมือวัดเพื่อการ
ผลตอบสนองต่อความถี่

การออกแบบระบบเครื่องมือวัดเสมือน ในการวัดผลตอบสนองเชิงความถี่ของ
วงจรจ่ายกำลังแบบสวิตซ์ซึ่ง DC/DC ชนิด Buck ในเบื้องต้นนั้นจะต้องเข้าใจหลักการ
ทำงานในภาพรวมของระบบควบคุมก่อนว่ามีหลักการทำงานอย่างไร แล้วจึงพิจารณา
ส่วนย่อยต่างๆอันประกอบไปด้วย การออกแบบวงจรที่ขับสัญญาณ Sine และ DC ที่
สามารถป้อนให้กับวงจร PWM Controller ได้สัญญาณ Pulse ตามที่ต้องการ และส่วน
ของวงจร Buck Converter และส่วนที่ออกแบบเครื่องมือวัดเสมือนในการวัดผล
ตอบสนองเชิงความถี่

3.2.3 การสร้างสัญญาณ Sin และ DC

การออกแบบวงจรเสมือนในการขับสัญญาณ Sin และ DC โดยที่สัญญาณ Sin มี
ความถี่ 10 Hz และขนาด 0.2 V และสัญญาณ DC 3 V โดยใช้โปรแกรม LabVIEW ดัง
รูปที่ 3.6

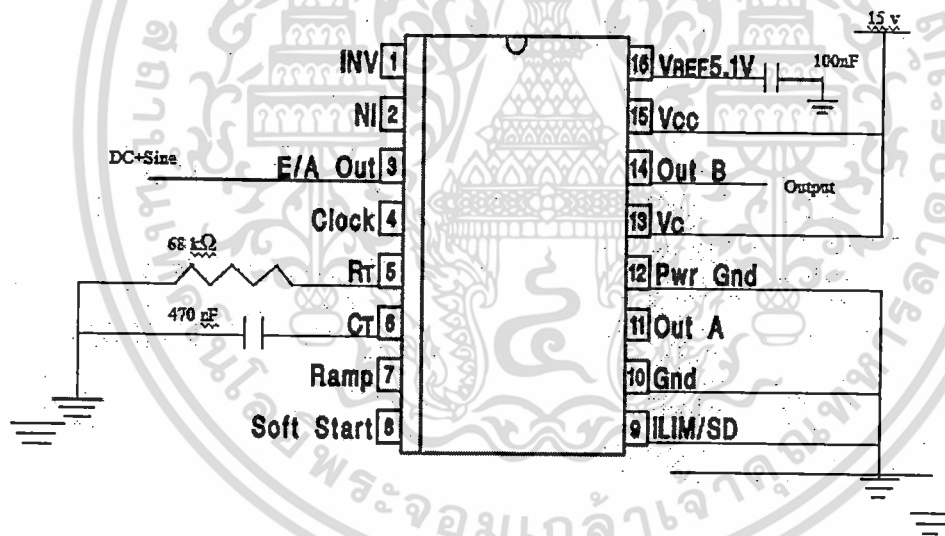
เอกสารนี้เป็นเอกสารที่สงวนไว้สำหรับการใช้งานเพื่อการศึกษาเท่านั้น ไม่อนุญาตให้นำไปใช้ประโยชน์ด้านการค้า
ไม่ว่ากรณีใดๆทั้งสิ้น อีกทั้งห้ามมิให้ตัดแปลงเนื้อหา และต้องอ้างอิงถึงเจ้าของเอกสารทุกครั้งที่มีการนำไปใช้



รูปที่ 3.6 การออกแบบการขับสัญญาณ Sin และ DC

3.3 การออกแบบวงจร PWM Controller

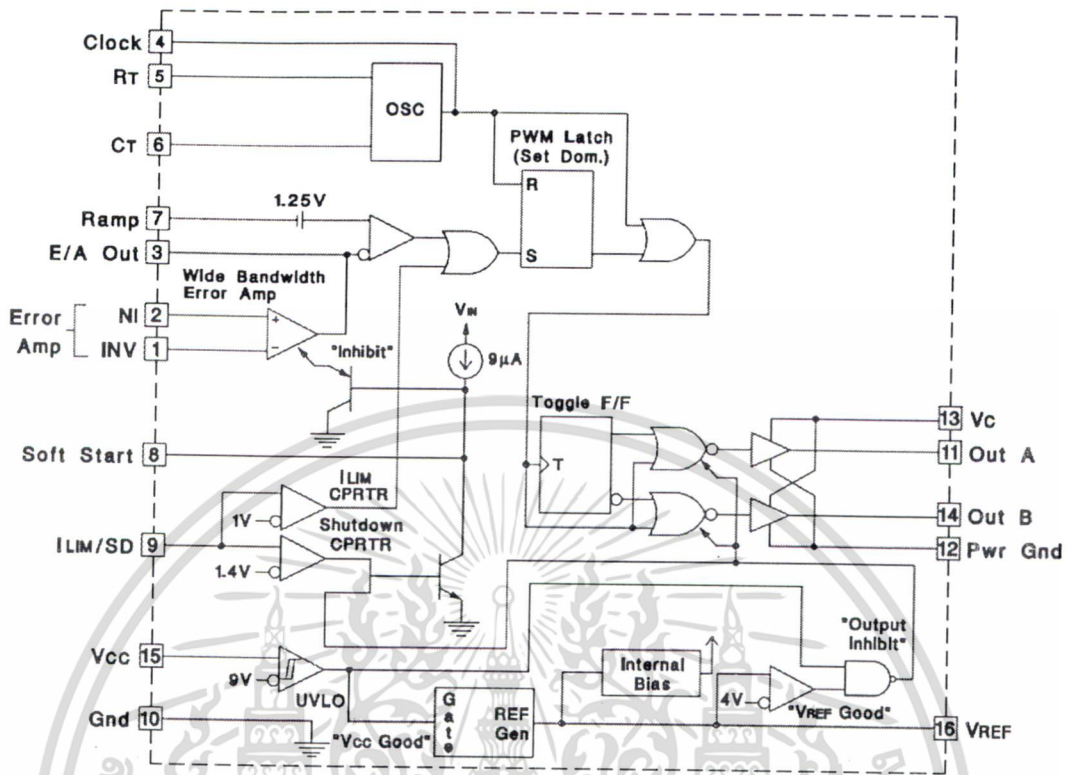
การออกแบบวงจร PWM Controller เพื่อให้ได้สัญญาณ Pulse ความถี่ 40 kHz และมีการแกว่งของ Duty cycle ดังนั้นจึงต้องเลือกค่า R และ C ที่ให้ได้ความถี่ 40 kHz แล้วต่อวงจรดังรูปที่ 3.7 โดยที่ สัญญาณ Sine และ DC ได้มาจากโปรแกรม LabVIEW



รูปที่ 3.7 การต่อวงจร PWM

เอกสารนี้เป็นเอกสารที่สงวนไว้สำหรับการใช้งานเพื่อการศึกษาเท่านั้น ไม่อนุญาตให้นำไปใช้ประโยชน์ด้านการค้า ไม่ว่ากรณีใดๆทั้งสิ้น อีกทั้งห้ามมิให้ดัดแปลงเนื้อหา และต้องอ้างอิงถึงเจ้าของเอกสารทุกครั้งที่มีการนำไปใช้

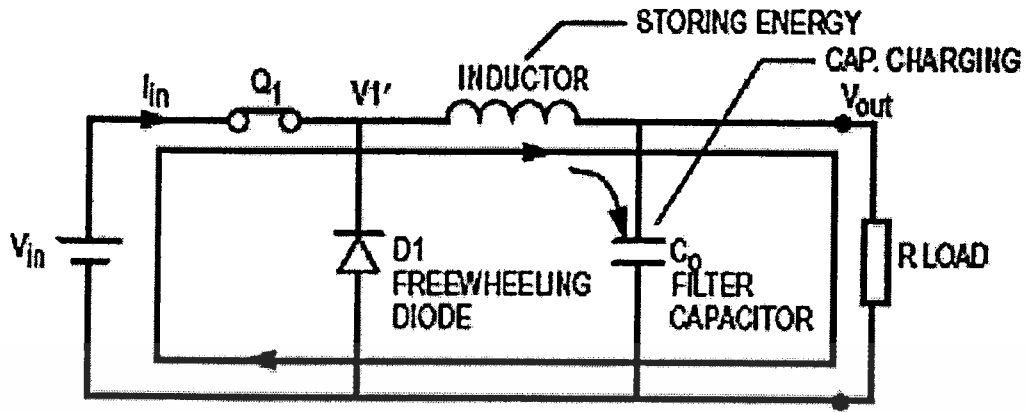
Block Diagram ของ High Speed PWM Controller เป็นดังนี้



รูปที่ 3.8 PWM Block Diagram

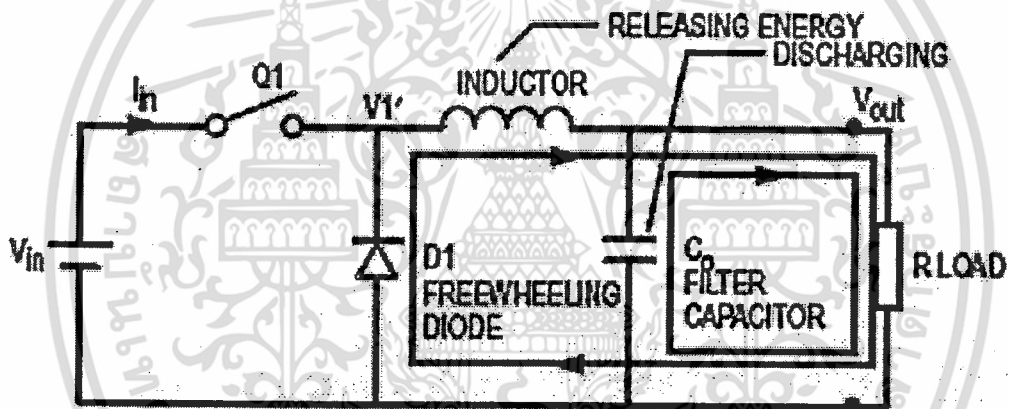
3.4 วงจรจ่ายกำลังแบบสวิตซ์ซึ่ง DC/DC ชนิด Buck

วงจรจ่ายกำลังแบบสวิตซ์ซึ่ง DC/DC ชนิด Buck ที่ถูกออกแบบให้ทำงานที่ความถี่ 40 kHz โดยหลักการการทำงานของวงจรคือให้ MOSFET ทำหน้าที่เป็นสวิตซ์ เปิดปิดวงจร ซึ่งถูกควบคุมด้วยสัญญาณ PWM ที่สร้างจาก PWM Controller UC3825 โดยเมื่อ MOSFET นำกระแสไฟฟ้า (ปิดวงจร) มีกระแสไหลผ่านวงจรดังรูปที่ 3.9 โดยมีกระแสไฟฟ้าส่วนหนึ่งไปยังตัวเก็บประจุ เมื่อ MOSFET หยุดนำกระแสไฟฟ้า (เปิดวงจร) ก็จะมีกระแสไฟฟ้าไหลผ่านโหลดอยู่ชั่วขณะหนึ่ง โดยกระแสไฟฟ้าที่ไหลผ่านโหลดได้มาจากสองแหล่งคือ ตัวเก็บประจุ และการที่ขดลวด Inductor ปล่อยพลังงานออกมา แสดงดังรูปที่ 3.10



รูปที่ 3.9 การทำงานของวงจรจ่ายกำลังแบบสวิตซ์ซิ่ง DC/DC ชนิด Buck

ขณะที่ MOSFET นำกระแสไฟฟ้า



รูปที่ 3.10 การทำงานของวงจรจ่ายกำลังแบบสวิตซ์ซิ่ง DC/DC ชนิด Buck ขณะที่

MOSFET หยุดนำกระแส

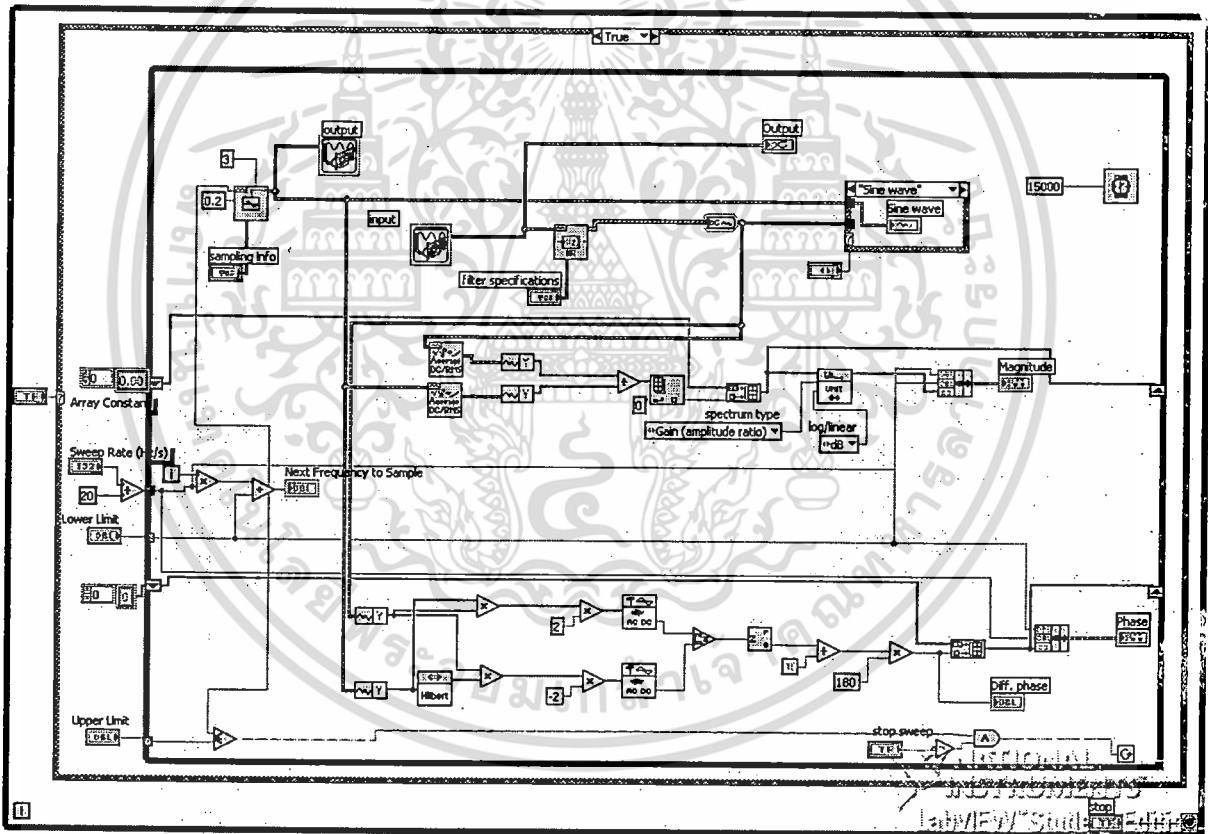
การเปิด-ปิดวงจรของ MOSFET จะรวดเร็วมาก (ประมาณ 20,000 ครั้งต่อวินาที หรือ 20 kHz ไปจนถึง 300,000 ครั้งต่อวินาที หรือ 300 kHz) เพื่อลดการ Ripple ของแรงดันไฟฟ้าที่ทางออก สำหรับการควบคุมกระแสไฟฟ้าทำได้โดยการเปลี่ยนช่วงเวลา Duty Cycle ที่ให้ MOSFET นำกระแสไฟฟ้าและหยุดนำกระแสไฟฟ้า ถ้าให้ MOSFET นำกระแสไฟฟ้าเป็นเวลานานก็จะมีกระแสไฟไหลผ่านโหลดมาก ถ้าให้ MOSFET นำกระแสเป็นเวลาน้อยก็จะมีกระแสไฟไหลผ่าน LOAD น้อยลงตามไปด้วย ส่วนการควบคุมแรงดันไฟฟ้าทำได้ด้วยวิธีการเดียวกัน แต่จะมีการตรวจสอบแรงดันไฟฟ้าอยู่

เอกสารนี้เป็นเอกสารที่สงวนไว้สำหรับการใช้งานเพื่อการศึกษาเท่านั้น ไม่อนุญาตให้นำไปใช้ประโยชน์ด้านการค้า
ไม่ว่ากรณีใดๆทั้งสิ้น อีกทั้งห้ามมิให้ตัดแปลงเนื้อหา และต้องอ้างอิงถึงเจ้าของเอกสารทุกครั้งที่มีการนำไปใช้

ตลอดเวลา ถ้าแรงดันไฟฟ้าเปลี่ยนแปลงก็จะทำการปรับเปลี่ยนช่วงเวลา Duty Cycle ให้กระแสไฟฟ้าไหลมากขึ้นหรือ

3.5 ส่วนออกแบบเครื่องมือวัดเสมือนในการวัดผลตอบสนองเชิงความถี่

ในการวัดผลตอบสนองเชิงความถี่ของการทำงานของวงจรจ่ายกำลังแบบสวิตซ์ ซึ่ง DC/DC ชนิด Buck โดยรับสัญญาณที่ทางออกจากวงจร Buck Converter เข้ามาทำการกรองผ่าน Band pass Filter เพื่อให้ได้เฉพาะสัญญาณ Small Signal มาทำการหาผลตอบสนองความถี่ โดยเปรียบเทียบขนาดและเฟสกับสัญญาณ Duty cycle เพื่อหาผลตอบสนองเชิงความถี่ ดังรูปที่ 3.10



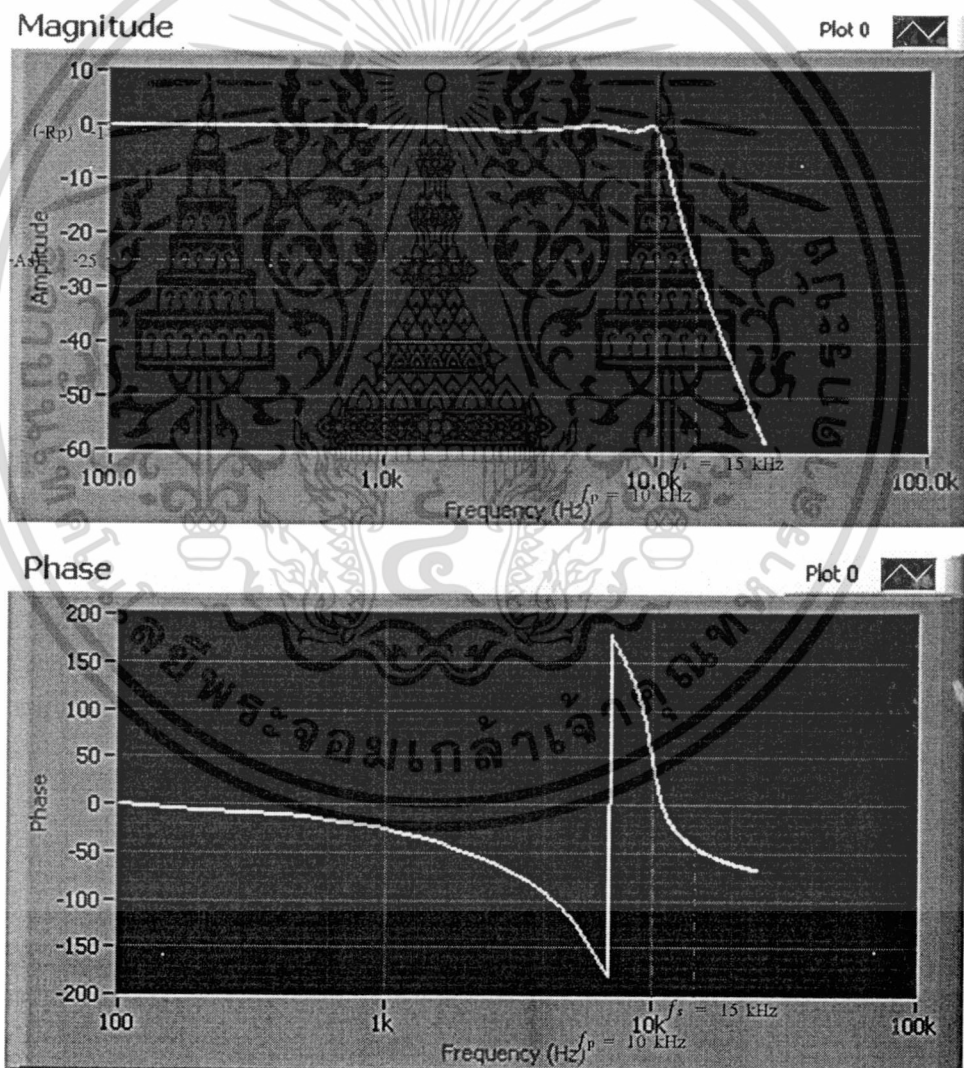
รูปที่ 3.10 Block Diagram ของเครื่องมือวัดเสมือนเพื่อหาผลตอบสนองความถี่

เอกสารนี้เป็นเอกสารที่สงวนไว้สำหรับการใช้งานเพื่อการศึกษาเท่านั้น ไม่อนุญาตให้นำไปใช้ประโยชน์ด้านการค้า ไม่ว่าจะกรณีใดๆทั้งสิ้น อีกทั้งห้ามมิให้ดัดแปลงเนื้อหา และต้องอ้างอิงถึงเจ้าของเอกสารทุกครั้งที่มีการนำไปใช้

บทที่ 4

ผลการทดลองโครงงาน

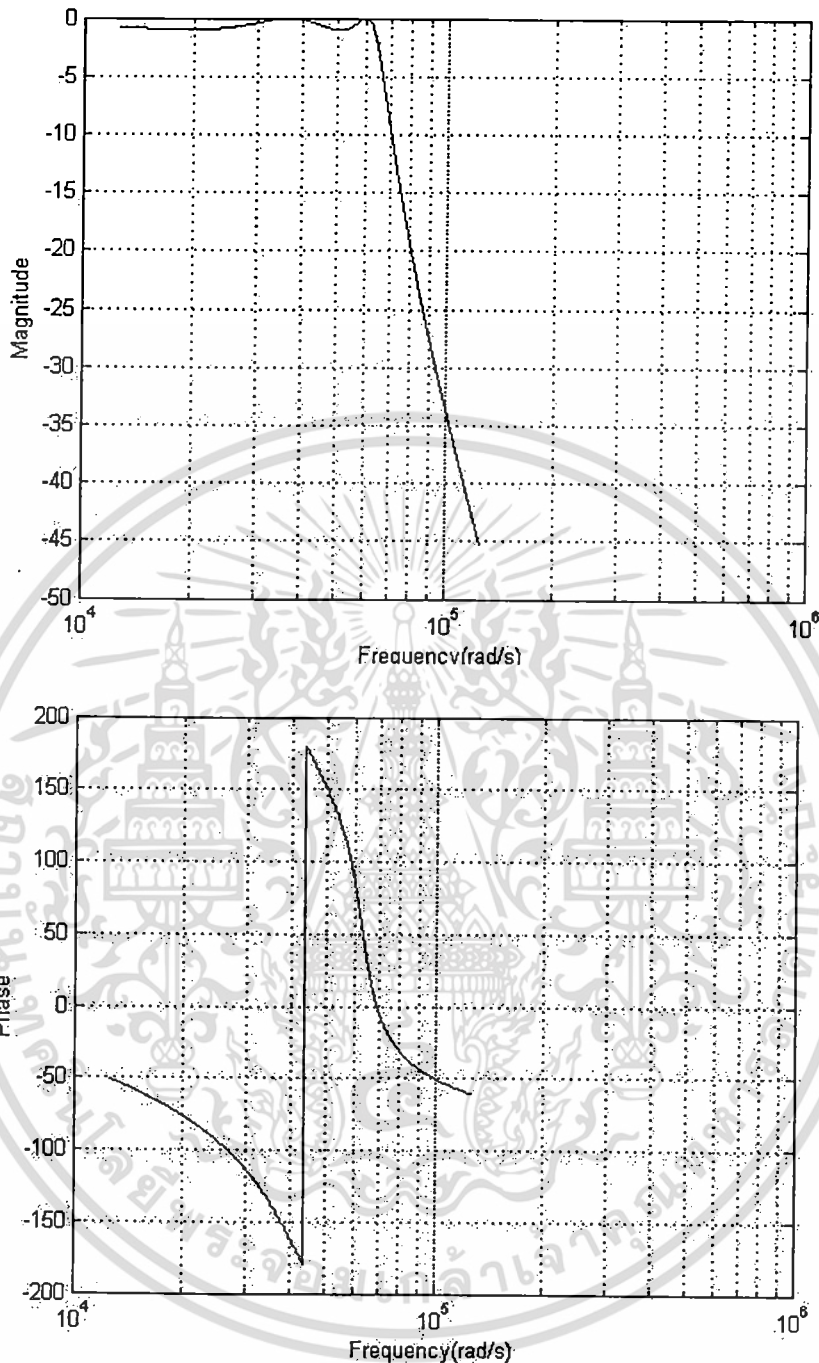
การทดลองเมื่อทำการทดสอบโปรแกรมที่ออกแบบขึ้น เพื่อสามารถวัดผลตอบสนองของระบบ การกรองสัญญาณ Analog Lowpass Filter, โดยออกแบบ Lowpass Filter ให้เป็นตามที่ต้องการ ดังนี้ความถี่สูงสุดที่ต้องการกรองสัญญาณเท่ากับ 25 kHz และความถี่ต่ำสุดที่ 100 Hz , Order 5 , Lower F_c (passband frequency) = 10 kHz, upper F_c (stopband frequency) = 15 kHz , PB Ripple (passband ripple) = 1 dB, SB Attenuation (stopband attenuation) = 25 dB และ Topology แบบ Chebyshev ผลตอบสนองความถี่ที่ได้เป็น Bode Diagram ดังนี้



รูปที่ 4.1 Bode Plot ของระบบกรองสัญญาณ Analog Lowpass Filter จาก LabVIEW

เอกสารนี้เป็นเอกสารที่สงวนไว้สำหรับการใช้งานเพื่อการศึกษาเท่านั้น ไม่อนุญาตให้นำไปใช้ประโยชน์ด้านการค้า ไม่ว่าจะกรณีใดๆทั้งสิ้น อีกทั้งห้ามมิให้ตัดแปลงเนื้อหา และต้องอ้างอิงถึงเจ้าของเอกสารทุกครั้งที่มีการนำไปใช้

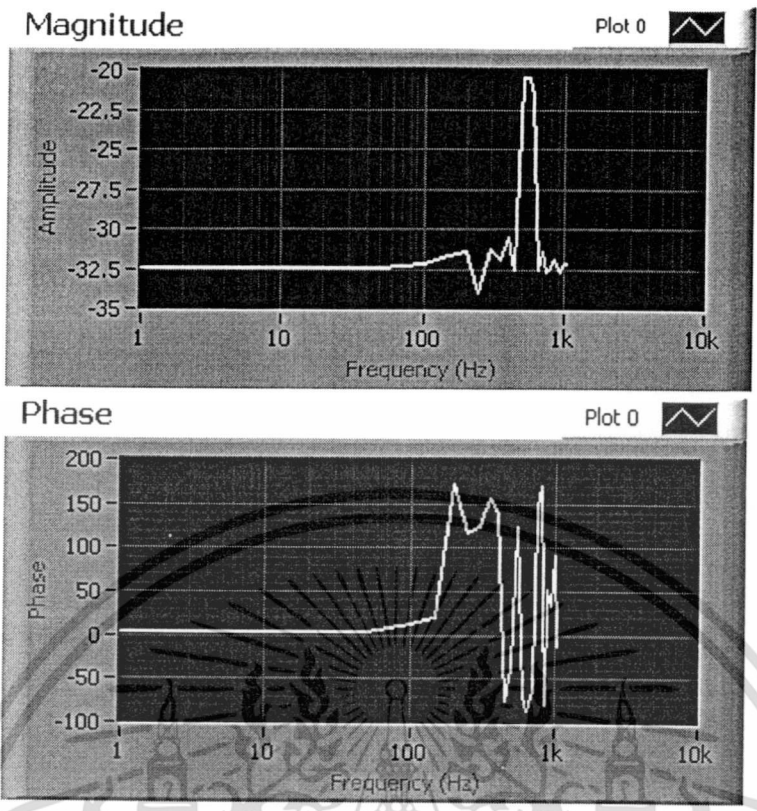
ผลตอบสนองความถี่ที่ได้จากการคำนวณ Matlab เป็นดังนี้



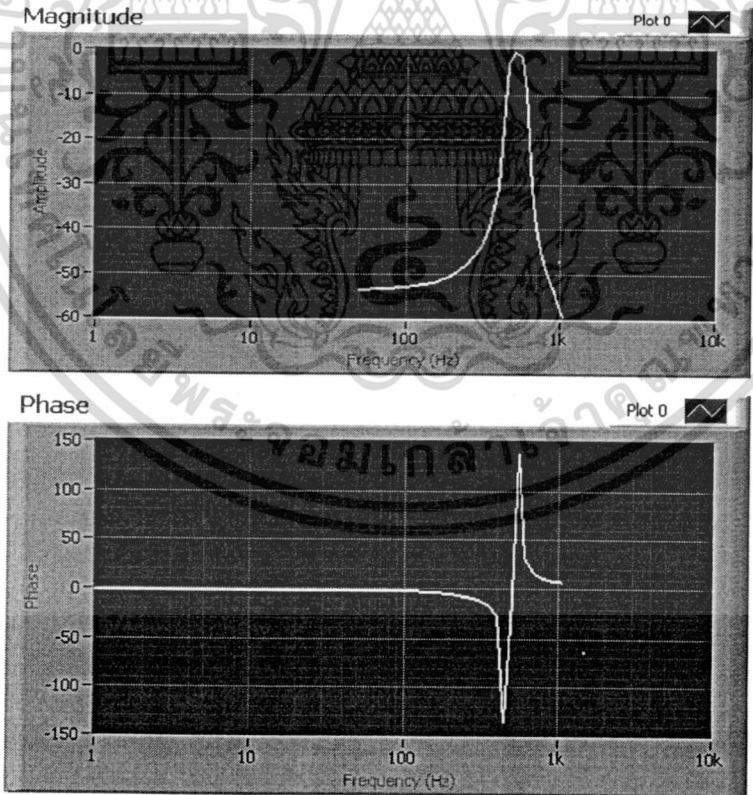
รูปที่ 4.2 Bode Plot ของของระบบกรองสัญญาณ Analog Lowpass Filter จากMatLab

การทดลองเมื่อป้อนสัญญาณ Sin + DC ที่มีขนาดของ Sin เท่ากับ 2mV และสัญญาณ DC 3V ให้กับ PWM ที่ได้แอกแบบค่าของ R และ C แล้วทำให้ได้สัญญาณ Pulse ที่มีความถี่ 40 kHz ตามต้องการแล้วเพื่อป้อนให้กับวงจรจ่ายกำลังแบบสวิทซ์ซึ่ง DC/DC ชนิด Buck เพื่อควบคุมวงจร แล้ววัดผลตอบสนองความถี่ของวงจรได้ผลตอบสนองเชิงความถี่ดังนี้

เอกสารนี้เป็นเอกสารที่สงวนไว้สำหรับการใช้งานเพื่อการศึกษาเท่านั้น ไม่อนุญาตให้นำไปใช้ประโยชน์ด้านการค้า ไม่ว่าจะกรณีใดๆทั้งสิ้น อีกทั้งห้ามมิให้ดัดแปลงเนื้อหา และต้องอ้างอิงถึงเจ้าของเอกสารทุกครั้งที่มีการนำไปใช้



ผลที่ได้จากการ Simulate สัญญาณในคอมพิวเตอร์เป็นดังนี้



รูปที่ 4.3 Bode Plot ของผลตอบสนองความถี่ของวงจร Buck Converter

เอกสารนี้เป็นเอกสารที่สงวนไว้สำหรับการใช้งานเพื่อการศึกษาเท่านั้น ไม่อนุญาตให้นำไปใช้ประโยชน์ด้านการค้า ไม่ว่าจะกรณีใดๆทั้งสิ้น อีกทั้งห้ามมิให้ดัดแปลงเนื้อหา และต้องอ้างอิงถึงเจ้าของเอกสารทุกครั้งที่มีการนำไปใช้

บทที่ 5

สรุปผลโครงการ ปัญหาที่พบและแนวทางแก้ไข

5.1 สรุปผลการทดลอง

ผลการทดลองระบบการสร้างเครื่องมือวัดเสมือน เพื่อวัดผลตอบสนองความถี่ พบว่าผลตอบสนองถี่ของระบบการกรองสัญญาณ Lowpass filter แบบ Chebyshev มีคุณสมบัติเป็นไปตามที่ต้องการคือ ความถี่สูงสุดที่ต้องการกรองสัญญาณเท่ากับ 25 kHz และความถี่ต่ำสุดที่ 100 Hz , Order 5, Lower F_c (passband frequency) = 10 kHz , upper F_c (stopband frequency) = 15 kHz , PB Ripple (passband ripple) = 1 dB , SB Attenuation (stopband attenuation) = 25 dB ที่ Simulink Matlab ได้ผลตอบสนองความถี่เป็นไปตามที่ต้องการและเมื่อเปรียบเทียบผลตอบสนองความถี่ที่ได้จาก LabVIEW พบว่าได้ผลตอบสนองความถี่เหมือนกับที่ใช้ Matlab จำนวนไว้ ดังนั้นจึงสามารถใช้ LabVIEW ในการหาผลตอบสนองความถี่ได้และจากการออกแบบเครื่องมือวัดเสมือนเพื่อหาผลตอบสนองเชิงความถี่ของวงจรจ่ายกำลังแบบสวิตซ์ซึ่ง DC/DC ชนิด Buck

ผลการทดลองระบบการสร้างเครื่องมือวัดเสมือนเพื่อวัดผลตอบสนองทางความถี่โดยวิธี Bode Plots โดยการเปรียบเทียบสัญญาณก่อนเข้าวงจรจ่ายกำลังแบบสวิตซ์ซึ่ง DC/DC ชนิด Buck กับสัญญาณที่ออกมาจากวงจร โดยผ่านการ์ด PCI – 6230 ซึ่งเป็นฮาร์ดแวร์ที่ใช้ในการรับและส่งสัญญาณจากโปรแกรม LabVIEW กับอุปกรณ์ภายนอก ซึ่งในการทดลองใช้การกรองสัญญาณแบบ Bandpass filter ชนิด Chebyshev ซึ่งเป็นโปรแกรม VI ที่มีมาสำเร็จรูปอยู่แล้วใน โปรแกรม LabVIEW และจากการทดลองทำการทดลองที่ย่านความถี่สูงสุดที่ต้องการกรองสัญญาณเท่ากับ 1kHz และความถี่ต่ำสุดคือ 0 Hz โดยกำหนดคุณสมบัติของวงจรกรองสัญญาณดังนี้คือ ให้มี order = 4, Lower cut-off Frequency(Lower F_c) = 450 Hz, Upper cut-off Frequency(Upper F_c) = 550 Hz, Passband ripple(R_p) = 1 dB และ Stopband Attenuation(A_s) = 60 dB จากผลการทดลองที่ได้เมื่อนำไปเปรียบเทียบกับผลการจำลองใน โปรแกรม LabVIEW นั้นจะเห็นได้ว่า กราฟที่ได้นั้นผิดเพี้ยนไปมากเนื่องจากผลของสัญญาณรบกวนที่เกิดจากอุปกรณ์ที่ใช้ในการทดลอง และในการส่งสัญญาณจากโปรแกรม LabVIEW ผ่านการ์ด PCI – 6230 เอกสารนี้เป็นเอกสารที่สงวนไว้สำหรับการใช้งานเพื่อการศึกษาเท่านั้น ไม่อนุญาตให้นำไปใช้ประโยชน์ด้านการค้า ไม่ว่าจะกรณีใดๆทั้งสิ้น อีกทั้งห้ามมิให้ดัดแปลงเนื้อหา และต้องอ้างอิงถึงเจ้าของเอกสารทุกครั้งที่มีการนำไปใช้

6230 ไปยังวงจรจ่ายกำลังแบบสวิตซ์ซิ่ง DC/DC ชนิด Buck นั้น สัญญาณที่ออกไปช้ากว่าในการประมวลผลในโปรแกรม LabVIEW ทำให้ผลการทดลองผิดเพี้ยนไปมาก

5.2 ปัญหาที่พบและแนวทางแก้ไข

การศึกษาและทำโครงการนี้ในช่วงแรกเกิดปัญหาคือ การติดตั้งการ์ด PCI – 6230 ซึ่งเป็นฮาร์ดแวร์ที่ใช้ในการติดต่อกับอุปกรณ์ภายนอก (ในที่นี้คือวงจรจ่ายกำลังแบบสวิตซ์ซิ่ง DC/DC ชนิด Buck) เนื่องจากในการติดตั้งครั้งแรกนั้นได้ติดตั้งกับคอมพิวเตอร์ที่มีคุณสมบัติ ซึ่งไม่เพียงพอต่อความต้องการของการ์ดและตัวโปรแกรม LabVIEW นี้ จึงทำให้ไม่สามารถใช้งานได้สมบูรณ์ เนื่องจากการ์ดและโปรแกรมนี้ต้องติดตั้งกับคอมพิวเตอร์ที่มีคุณสมบัติดีมากพอสมควรถึงจะใช้งานได้ดี ปัญหาต่อมาคือในการส่งสัญญาณอนาล็อก จากโปรแกรม LabVIEW ผ่านการ์ด PCI – 6230 นั้น สัญญาณอนาล็อกที่ออกไปนั้นช้ากว่าการประมวลผลในโปรแกรม LabVIEW จึงเป็นสาเหตุสำคัญที่ทำให้ผลการทดลองผิดเพี้ยนไปมาก ซึ่งวิธีการแก้ปัญหาก็คือจัดซื้อชุดคอมพิวเตอร์ที่มีคุณสมบัติสูงๆ เนื่องจากคอมพิวเตอร์ที่อยู่ถึงจะสามารถใช้งานได้แต่ก็ยังไม่เพียงพอต่อความต้องการของการ์ด PCI – 6230 และตัวโปรแกรม LabVIEW

ในส่วนปัญหาที่พบและยังไม่ได้ปรับปรุงแก้ไขได้แก่ ปัญหาที่ระบบจะมีสัญญาณรบกวนเข้ามาหากมีการต่อฮาร์ดแวร์เข้ากับคอมพิวเตอร์ ซึ่งสัญญาณที่รับเข้ามาประมวลผลนั้นได้นำไปผ่านตัวกรองสัญญาณ (Filter) ชนิดต่างๆ ซึ่งเป็น VI ในตัวโปรแกรม LabVIEW ที่มีมาสำเร็จรูปอยู่แล้ว พบว่าสัญญาณที่กรองออกไปมีสัญญาณที่เรียบ แต่ยังมีการเลื่อนของเฟสเกิดขึ้น ดังนั้นแนวทางในการแก้ไขปัญหาก็ที่ดีที่สุดคือการออกแบบตัวกรองสัญญาณ (Filter) แบบ Equiripple ซึ่งมีคุณสมบัติ Linear Phase คือผลตอบสนอง (ขนาด) ความถี่เป็นสมมาตรกัน จะทำให้ไม่เกิดการเลื่อนของเฟสเกิดขึ้น

กิติกรรมประกาศ

คณะผู้วิจัยขอขอบคุณ คณะวิศวกรรมศาสตร์ สถาบันเทคโนโลยีพระจอมเกล้า
เจ้าคุณทหารลาดกระบัง ที่ได้จัดสรรงบประมาณสำหรับทุนวิจัยนี้ และภาควิชาวิศวกรรม
ระบบควบคุมที่อำนวยความสะดวกในการทำวิจัย



เอกสารนี้เป็นเอกสารที่สงวนไว้สำหรับการใช้งานเพื่อการศึกษาเท่านั้น ไม่อนุญาตให้นำไปใช้ประโยชน์ด้านการค้า
ไม่ว่ากรณีใดๆทั้งสิ้น อีกทั้งห้ามมิให้ดัดแปลงเนื้อหา และต้องอ้างอิงถึงเจ้าของเอกสารทุกครั้งที่มีการนำไปใช้

เอกสารอ้างอิง

1. Lewis H. Paul, Yang Chang, “Basic Control Systems Engineering”, Prentice Hall International INC, 1997.
2. เจริญ เพชรมณี, “เรียนลัด LabVIEW”, ซีเอ็ดยูเคชั่น, 2547.
3. ฉมัยพร สุขสังข์, วิญญู เอกรังษี, “การประยุกต์ใช้งานโปรแกรม LabVIEW”, ปริญญาานิพนธ์, ภาควิชาวิศวกรรมระบบควบคุม, สถาบันเทคโนโลยีพระจอมเกล้าเจ้าคุณทหารลาดกระบัง, 2549.
4. Robert H. Bishop, “LabVIEW Express”, New Jersey: Pearson Prentice Hall , 2006.



เอกสารนี้เป็นเอกสารที่สงวนไว้สำหรับการใช้งานเพื่อการศึกษาเท่านั้น ไม่อนุญาตให้นำไปใช้ประโยชน์ด้านการค้า
ไม่ว่ากรณีใดๆทั้งสิ้น อีกทั้งห้ามมิให้ตัดแปลงเนื้อหา และต้องอ้างอิงถึงเจ้าของเอกสารทุกครั้งที่มีการนำไปใช้